



مقایسه اثر الگوی جریان ورودی و شبیه آبراهه بر انتقال رسوب بستر در شرایط آزمایشگاهی

اشکان آل بویه^۱ - کاظم اسماعیلی^۲ - سعید رضا خداشناس^۳

تاریخ دریافت: ۱۳۹۲/۲/۱۵

تاریخ پذیرش: ۱۳۹۳/۲/۹

چکیده

سیالاب‌های سریع در مناطق خشک و نیمه‌خشک به دلیل ریگبار سریع و قوع می‌یابند و دارای زمان پایه کوتاه و نقطه اوج بالا می‌باشند. بررسی رفتار بار بستر منتقل شده تحت تاثیر چنین سیالاب‌هایی به پایین دست که بر ویژگی‌های رودخانه تاثیرگذار است از اهمیت ویژه‌ای برخوردار می‌باشد. در این تحقیق، به ارزیابی آزمایشگاهی اثر سیالاب ناگهانی بر میزان بار بستر انتقالی به پایین دست از طریق مدل پرداخته شده است. جریان‌های ورودی از نوع مثلثی و به دو صورت متقاضان و نامتقاضان در نظر گرفته شد. زمان پایه آب‌نمودها ثابت و برابر با ۹۰ ثانیه و دبی اوج آن‌ها از ۶/۵۸ لیتر در ثانیه در نظر گرفته شد. ذرات رسوبی مورد استفاده به عنوان بار بستر، رسوبات یک‌نواخت با قطر متوسط ۲/۵ میلی‌متر بود که در سه شبی کanal ۰/۰۰۵، ۰/۰۱ و ۰/۰۲ مورد آزمایش قرار گرفت. نتایج نشان داد بین مقدار اوج آب‌نمود جریان و مقدار بیشینه رسوب نمود، تاخیر زمانی معادل با ۱۱ تا ۱۶ ثانیه درصد زمان پایه آب‌نمود وجود دارد. همچنین شبی کanal و دبی اوج آب‌نمود جریان ورودی، تاثیر قابل توجه‌ای در میزان انتقال رسوب به پایین دست و فرسایش بالادست داشته چنان‌که با دو برابر شدن شبی کف (از ۰/۰۰۵ به ۰/۰۱)، میزان بار رسوبی ۱/۵ برابر با چهار برابر شدن شبی کف کanal (از ۰/۰۰۵ به ۰/۰۲)، حدوداً ۵ برابر گردید. همچنین بار رسوبی انتقال یافته تحت تاثیر آب‌نمودهای مثلثی متقاضان بیشتر از آب‌نمودهای مثلثی نامتقاضان بود.

واژه‌های کلیدی: سیالاب سریع، جریان غیرماندگار، رودخانه‌های مناطق خشک، آب‌نمود مثلثی، رسوب بستر

سیالاب‌های ناگهانی^۴ به دلیل بارندگی‌های شدید و کوتاه مدت ایجاد می‌شوند و به صورت طغیان از مسیر و کناره‌های رودخانه جاری و تمام موانع موجود در سر راه خود را شسته و تخریب می‌کند. آب‌نمود چنین سیالاب‌هایی از نقطه اوج بالایی برخوردار است. تعییر حالت و وضعیت رودخانه‌های آرام به شرایط سیالابی ممکن است چندین بار در سال اتفاق رخ دهد. سیل‌های ناگهانی از جمله مواردی هستند که نیاز به بیشترین توجه و رسیدگی توسط سازمان‌های دولتی و توده مردم را دارند. در راستای انتقال بار بستر و فرسایش تحت تاثیر این نوع جریان، مطالعات نه چندان زیادی صورت گرفته است. رید و لارون (۱۹۹۵)، کوهن و لارون (۲۰۰۵)، متشو و همکاران (۱۲) و بمبار و همکاران (۶)، به ارائه مدل ریاضی رسوب منتقل شده و همچنین تعییرات شکل بستر تحت تاثیر جریان غیرماندگار پرداختند (۶). رید و همکاران (۱۹۹۵) الگوی بارکف را تحت تاثیر آب‌نمود جریان، برای یازده سیل در آبراهه لندن مورد بررسی قرار دادند. با رخداد اولین سیل پس از یک دوره خشکی طولانی، مشاهده شد که یک تاخیر زمانی در شاخه نزولی آب‌نمود وجود دارد که علت آن سست شدن مواد بستر بود. در مقابل، وقتی سیلی به دنبال سیل دیگر جریان یافت، آن‌ها

مقدمه

به جریان عظیمی که سطح آب در آن بالا آمده و موجب آب گرفتگی اراضی حاشیه رودخانه می‌شود سیل اطلاق می‌شود. این نوع جریان زمین‌های اطراف را که معمولاً در زیر آب نیست، غرقاب کرده و با زیر آب بردن زمین‌ها و نواحی ساحلی، آثار بسیار زیان‌آوری بر جای می‌گذارد. سیل جزء جدایی‌ناپذیر و طبیعی زندگی انسان به شمار می‌آید. وقوع سیالاب مشکلاتی همچون اخلال در ارتباطات، تخریب خاکریزها، راه‌ها، راه‌آهن‌ها، آبروها و سازه‌های دیگر را به وجود می‌آورد. علاوه بر آن، سیالاب مانع برای زهکشی موثر و استفاده اقتصادی از اراضی برای کشاورزی و اهداف صنعتی می‌باشد. به دلیل وقوع سیل، فرسایش‌های عظیمی در سطح حوضه اتفاق می‌افتد و نهایتاً مشکلات عمده‌ای را بدلیل تنهشینی و انباسته شدن رسوب در پایین دست به وجود می‌آورد. از این‌رو مطالعه و بررسی رفتار رسوب تحت تاثیر جریان سیالاب حائز اهمیت می‌باشد. یکی از دلایل وقوع سیالاب، توزیع غیریکنواخت زمانی و مکانی بارندگی است.

^{۱، ۲ و ۳}- به ترتیب دانشجوی کارشناسی ارشد، استادیار و دانشیار گروه مهندسی آب، دانشکده کشاورزی، دانشگاه فردوسی مشهد
(*)- نویسنده مسئول: (Email: a.alebouyeh15@gmail.com)

تخمین زده شود. اسماعیلی و همکاران (۱) آزمایش‌هایی را بر روی بارکف تحت جریان غیرماندگار انجام دادند. نتایج نشان داد که در آزمایش‌های با آبنمودهای مشابه از نظر دبی حداکثر، دبی رسوب متوسط با افزایش زمان پایه آبنمود، روند کاهشی داشته ولی میزان رسوب انتقالی همواره نسبت به شرایط جریان ماندگار بیشتر است. ایشان همچنین مشاهده کردند که تغییر شکل بستر ناشی از جابجایی ذرات کف در ابتدای بستر بیشترین مقدار را دارد. بمبار و همکاران (۶) مجموعه‌ای از آزمایش‌ها را بر روی بارکف تحت شرایط جریان غیرماندگار انجام دادند. آن‌ها مجموعه‌ای از آبنمودهای مثلثی و ذوزنقه‌ای را بر روی بستر متحرک برقرار کردند. نتایج آزمایش نشان داد که نزخ انتقال بار بستر به دنبال تغییرات زمانی آبنمودهای مثلثی و ذوزنقه‌ای، تاخیر زمانی به اندازه ۴ تا ۱۴ درصد از زمان پایه آبنمودهای جریان ورودی دارند. پائولو بیلی (۵) اندازه‌گیری جریان و انتقال رسوب را در طول فصل بارانی (ژولای و آگوست) در رودخانه گرب-اودا^۱ که دارای کف شن و ماسه و جزو رودخانه‌های فصلی به حساب می‌آید، انجام داد. عدد فرود برای بررسی وقوع شرایط فوق بحرانی و تجزیه و تحلیل ویژگی‌های ساختار رسوب محاسبه گردید. تغییرات غلظت رسوبات معلق با دبی آنالیز شد و منحنی‌های ساده برای انتقال بارمعلق و بارکف استخراج گردید. هم‌چنین ایشان تعدادی از معادلات پیش‌بینی بارکف را برای داده‌های رودخانه مذبور بررسی کردند. همانگونه که در بالا ذکر گردید، محققین مختلفی به بررسی بار بستر منتقل شده در شرایط جریان سیلانی، آزمایش‌های را انجام دادند. نمونه‌برداری از رسوب در آزمایش‌های آن‌ها یا به صورت الکترونیکی بوده که نیاز به وجود لوازم و تجهیزات آزمایشگاهی پیشرفت دارد، یا رسوبات به صورت کلی و در انتهای کanal و یا در بازه‌های زمانی کوتاه مدت (بین ۱۰ تا ۲۰ ثانیه) و در انتهای کanal جمع‌آوری گردیده است. در این تحقیق رسوبات بلافصله بعد از بستر مورد آزمایش نمونه‌برداری گردید. به طور کلی هدف از تحقیق حاضر شبیه‌سازی آزمایشگاهی انتقال بار بستر می‌باشد. در این راستا تغییرات زمانی بار بستر و مقدار جریان، اندازه‌گیری و مورد مقایسه قرار می‌گیرند.

مواد و روش‌ها

این تحقیق در آزمایشگاه هیدرولیک گروه مهندسی آب دانشکده کشاورزی دانشگاه فردوسی مشهد، در یک کanal آزمایشگاهی به طول ۱۰ متر و عرض و ارتفاع به ترتیب ۳۰ و ۵۰ سانتی‌متر انجام گرفت. جداره‌های کanal به منظور مشاهده جریان از جنس شیشه شفاف انتخاب شد. کanal قابلیت شبیه‌پذیری داشته و در این تحقیق

بیان داشتند که مقدار قابل توجهی از رسوبات بارکف، در شاخه صعودی آبنمود ایجاد شده است (۱). گرف و سوزکا (۸) رابطه انتقال رسوب را تحت وضعیت جریان غیرماندگار و جریان ماندگار، در یک کanal مستقیم بررسی کردند و نتیجه گرفتند که حجم رسوبات بدست آمده در حالت غیرماندگار همواره بیشتر از مقدار آن در حالت ماندگار می‌باشد. کوهنل (۱۰) بر روی دو رودخانه ماسه‌ای در ایالات متحده امریکا تحقیق کرد. او مشاهده کرد که جریان بارکف در طول شاخه صعودی آبنمود در مقابل شاخه نزولی آن، در وضعیت جریان‌های شدید، بیشتر است. فاصله زمانی بین وقوع اوج جریان و دبی اوج رسوب در آزمایش‌های وانگ و پلیت (۱۵) مشاهده شد که آن را تاخیر اینرسی کف نامیدند. کاپارت و یانگ (۷) مطالعات آزمایشگاهی خود را در مورد موج انتقال یافته ناشی از شکست سد، بر روی بسترها قابل حرکت مطالعه نمودند و مشاهده کردند که شدت آبشتگی کف در ابتدای ماجرا بیشتر است (با توجه به ویژگی‌های موج سیلان سریع و موج جریان سیلان ناشی از شکست سد). کو (۱۳) جریان غیرماندگار که در کanal‌های رواز بر روی بستر ثابت و بستر متحرک مورد آزمایش قرار داد. پروفیل سرعت برای جریان یک نواخت ماندگار اندازه‌گیری گردید و از روی آن دبی جریان را محاسبه نمود. وی ۱۲ آزمایش جریان غیرماندگار با استفاده از آبنمودهای مثلثی بر روی کف‌های متحرک را انجام داد. قبل از انجام آزمایش‌های جریان غیرماندگار، آزمایش‌های جریان ماندگار انجام پذیرفت. نتایج آزمایش نشان داد که پروفیل لگاریتمی سرعت برای جریان‌های غیرماندگار با انتقال بارکف در ناحیه خطی جریان وجود دارد هم‌چنین مشاهده کرد که وقوع حرکت بارکف با پایداری و دوام جریان کاهش می‌یابد. اسپین وین (۱۴) تاثیر جریان ناشی از شکست یک سد را بر روی بستر قابل حرکت و تخت مورد بررسی قرار داد و نتیجه گرفت که یک جبهه قوی پیشروی در ابتدای شکست سد وجود دارد که می‌تواند فرسایش قابل ملاحظه‌ای را در بستر ایجاد کند. لی و همکاران (۱۱) آزمایش‌های را در مورد روند انتقال رسوب کف در شرایط جریان غیرماندگار انجام دادند. آن‌ها نشان دادند که بین دبی حداکثر آبنمود و حداکثر سدیگراف رسوب تاخیر زمانی وجود دارد که ناشی از تاثیر افزایش قطر ذرات است. حسن و همکاران (۹) در آزمایش‌های خود، از اندازه قطر ذرات است. حسن و همکاران (۹) در آزمایش‌های خود، از شنی تحقیق کردند. آن‌ها آزمایش‌هایی را با آبنمودهای مقارن و نامتقارن انجام دادند و مشاهده کردند که در دوره‌های زمانی کوتاه برای آزمایش‌های با آبنمود مقارن، تاخیر زمانی بین دبی اوج آبنمود جریان و رسوب نمود وجود دارد. متنو و همکاران (۱۲) یک روش برای تعریف و پیش‌بینی روند شستشو، تحت جریان غیرماندگار در شرایط پایدار بدون بعد زمانی ارائه کردند. نتایج آن‌ها نشان داد که نسبت بین شسته شدن عمق و عمق بالقوه شستشو در کف، برای آبنمود داده شده می‌تواند به عنوان تابعی از پارامتر زمان مشخص

پدیده را فهرست نموده، سپس به روش آنالیز ابعادی گروههای بدون بعد موثر تعیین و تغییرات آنها از طریق نتایج آزمایشگاهی مورد بررسی قرار می‌گیرد. در این تحقیق، روش II باکینگهام برای تحلیل ابعادی بین متغیرهای موثر بر انتقال بار بستر در رودخانه‌های مناطق خشک و نیمه‌خشک مورد استفاده قرار گرفت. متغیرهای موثر بر انتقال بار بستر تحت تاثیر جریان غیرماندگار به شرح زیر می‌باشد:

$$f(Q_s, Q_p, T_p, T_b, S, \rho, \mu, \omega_s, g, y_{it}, V_{it}) = 0 \quad (1)$$

که در رابطه فوق، Q_s دبی جرمی رسوب منتقل شده به پایین دست تحت تاثیر جریان غیرماندگار در زمان‌های مختلف (کیلوگرم بر ثانیه)، Q_p دبی اوج آبنمود جریان ورودی (لیتر در ثانیه)، T_p مدت زمان رسیدن آبنمود به نقطه اوج (ثانیه)، T_b زمان پایه آبنمود جریان ورودی (ثانیه)، S شیب بستر رسوبی، ρ جرم مخصوص آب (کیلوگرم بر مترمکعب)، g لزجت دینامیکی آب (کیلوگرم ثانیه بر متر)، y_{it} سرعت سقوط ذرات رسوب (متر بر ثانیه)، V_{it} شتاب نقل (متر بر مجدور ثانیه)، y_{it} تغییرات عمق جریان با زمان (متر) و V_{it} تغییرات سرعت جریان با زمان (متر بر ثانیه) می‌باشند. سه پارامتر ρ ، μ و V_{it} به عنوان متغیرهای اصلی یا تکرار شونده و به ترتیب به عنوان مشخصه سیال، مشخصه جریان و مشخصه هندسی در نظر گرفته شدند. با استفاده از روش II باکینگهام، گروههای بدون بعد به شرح زیر بدست آمدند:

$$f\left(\frac{Q_s}{\rho \cdot Q_p}, \frac{T_p}{T_b}, S, \frac{\omega_s}{V_{it}}, \frac{g \cdot y_{it}}{V_{it}^2}, \frac{\mu}{\rho \cdot y_{it} \cdot V_{it}}\right) = 0 \quad (2)$$

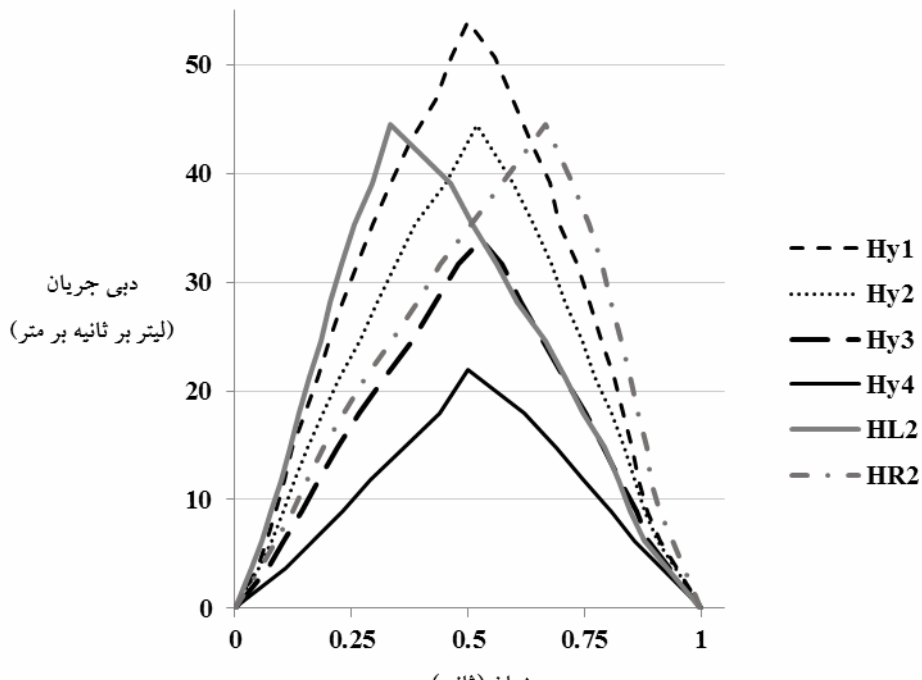
که در رابطه فوق مقدار بی بعد $\frac{g \cdot y_{it}}{V_{it}^2}$ برابر با عکس مجذور عدد فرود جریان و مقدار بی بعد $\frac{\mu}{\rho \cdot y_{it} \cdot V_{it}}$

می‌باشد. این تحقیق به منظور بررسی تاثیر آبنمود جریان بر بستر می‌باشد لذا رسوبات مورد استفاده در آزمایش باید در طی جریان غیرماندگار، به صورت بار بستر حرکت کرده و معلق نشوند. معیار موجود که نشان دهنده حرکت ذرات به صورت بارکف باشد، نسبت $\frac{y_{it}}{U}$ است که در آن U سرعت برشی و y_{it} سرعت سقوط ذرات در حالت مستقر می‌باشد. معیارهای مختلفی برای کنترل شرایط معلق بودن ذرات وجود دارد که از جمله می‌توان به معیار بگنولد (۱۹۶۶) اشاره نمود که چنانچه < 0.25 (U) باشد، آنگاه حرکت ذرات فقط به صورت بارکف است (۱). می‌توان نوشت.

سه شب ۰/۰۵ و ۰/۰۲ در نظر گرفته شد. به منظور ایجاد جریان غیرماندگار، از سیستم کنترل دور^۱ مدل VFR-M استفاده شد. این وسیله با افزایش و کاهش تدریجی فرکانس پمپ، جریان غیرماندگار را تولید می‌نماید. با استفاده از برنامه‌های موجود در این دستگاه، مدت زمان شاخه‌های صعودی و نزولی آبنمود جریان به دستگاه وارد گردید. دبی اوج آبنمودهای ورودی، با توجه به اندازه دانه‌بندی رسوب و از طریق شیر تنظیم، تعیین شد. آبنمودهای بکار گرفته شده در این آزمایش‌ها از نوع مثلثی شکل دارای زمان پایه ۹۰ ثانیه بوده و به دو صورت مثلثی متقاضن و نامتقاضن مورد بررسی قرار گرفت. شکل ۱ آبنمودهای اندازه‌گیری شده در کanal را نشان می‌دهد.

مدت زمان شاخه‌های صعودی و نزولی در آبنمودهای مثلثی متقاضن با یکدیگر برابر و معادل ۴۵ ثانیه و در آبنمودهای مثلثی نامتقاضن این دو پارامتر دارای زمان‌های متفاوتی بودند. مشخصات آبنمودهای مورد استفاده در جدول ۱ نشان داده شده است.

رسوبات مورد استفاده در این تحقیق از جنس ماسه رودخانه‌ای و دارای قطر متوسط ۲/۵ میلی‌متر و d_1 و d_2 ذرات به ترتیب برابر با $2/3$ و $2/8$ میلی‌متر بودند و ضریب یک نواختی ذرات رسوب برابر با $1/21$ بdest آمد. بستر رسوبی به طول ۲ متر و ضخامت رسوب ریزی ۶ سانتی‌متر و هم عرض با کanal آزمایشگاهی آماده‌سازی شد. نمونه برداری از بار بستر منتقل شده به پایین دست تحت تاثیر آبنمودهای جریان ورودی، بالاصله بعد از بستر متحرک و در فواصل زمانی کوتاه انجام گرفت. برای این منظور از یکسری جعبه‌های مستطیلی از جنس توری با بدنه مشبک ریز که امکان عبور ذرات رسوبی از آن وجود ندارد انتخاب گردید. ابعاد جعبه‌های مشبک شامل طول، عرض و ارتفاع به ترتیب $2/5$ ، 5 و 5 سانتی‌متر بودند. جعبه‌های توری‌های تهیه شده به یک قاب فلزی متصل و توسط یک کابل و موتور که در انتهای کanal نصب گردیده است با سرعت مورد نظر به سمت پایین-dest به حرکت در می‌آمد. سرعت حرکت این قاب متناسب با زمان پایه آبنمود جریان ورودی انتخاب گردید. پس از هر آزمایش رسوبات موجود در هر جعبه توری به صورت جداگانه و در داخل آون خشک و وزن گردید. با مشخص بودن مدت زمان آزمایش در محدوده هر جعبه توری و وزن رسوب موجود در آن، دبی رسوب منتقل شده به پایین-dest تحت تاثیر آبنمودهای جریان ورودی قابل محاسبه بود. روابط حاکم بر بسیاری از پدیده‌های هیدرولیکی را نمی‌توان مستقیماً از قوانین حاکم بر حرکت سیالات و تئوری‌های موجود نظری قوانین بقای جرم، انرژی و مومنتم به دست آورد. در چنین مواردی برای استخراج رابطه ریاضی حاکم بر چنین پدیده‌هایی، ابتدا کلیه متغیرهای موثر بر



شکل ۱- آبنمودهای جریان ورودی

جدول ۱- مشخصات آبنمودهای مورد استفاده در آزمایش

آبنمود جریان	دبی اوج آبنمود جریان (sec)	مدت زمان شاخه صعودی (sec)	مدت زمان شاخه نزولی (Lit/sec/m)	
Hy1	۵۴	۰/۳۰	۰/۷۰	
Hy2	۴۴/۵	۰/۳۰	۰/۷۰	
Hy3	۳۴	۰/۳۰	۰/۷۰	
Hy4	۲۲	۰/۳۰	۰/۷۰	
HL2	۴۴/۵	۰/۳۰	۰/۷۰	
HR2	۴۴/۵	۰/۳۰	۰/۷۰	

U*/ω_s = ۴/۸، ۷/۲ و ۳ سانتی متر اندازه گیری شد. جدول ۲ مقدار بی بعد U*/ω_s را برای شبیه های مختلف بستر نشان می دهد.

جدول ۲- بررسی معلق شدن ذرات رسوب بار بستر

U*/ω _s	ω _s (m/s)	U* (m/s)	R (m)	y _{max} (m)	S
۰/۱۲۴	۰/۳۰۴	۰/۰۳۸	۰/۰۲۸	۰/۰۷۲	۰/۰۰۵
۰/۱۴۸	۰/۳۰۴	۰/۰۴۵	۰/۰۲۰۶	۰/۰۴۸	۰/۰۱
۰/۱۷	۰/۳۰۴	۰/۰۵۲	۰/۰۱۳۶	۰/۰۳	۰/۰۲

با توجه به مقادیر جدول فوق، مشاهده می شود که در تمامی شبیه های انتخابی نسبت بی بعد U*/ω_s کمتر از مقدار ۰/۲۵ شده است و براساس معیار بگنولد می توان نتیجه گرفت که ذرات رسوبی مورد

$$U_* = \sqrt{g \cdot R \cdot S} \quad (3)$$

که در آن g شتاب ثقل (متر بر میلی ثانیه)، R شعاع هیدرولیکی جریان (متر) و S شبیه کف کانال می باشد. هم چنین روابط (۱۹۳۳) برای ذرات کوچک، رابطه ۴ را برای محاسبه سرعت سقوط ارائه کرد که برای تمام محدوده عدد رینولدز می تواند مورد استفاده قرار گیرد (۲).

$$\omega_s = \frac{\sqrt{2.3g(G_s - 1)D_{50}^2 + 36\nu^2} - 6\nu}{D_{50}} \quad (4)$$

در رابطه فوق G_s چگالی ذرات رسوب و ν لرجه سینماتیک می باشد. در این آزمایش سه شبیه ۰/۰۰۵، ۰/۰۱ و ۰/۰۲ برای بستر رسوبی در نظر گرفته شد. حداکثر عمق جریان در این سه شبیه به ترتیب برابر با

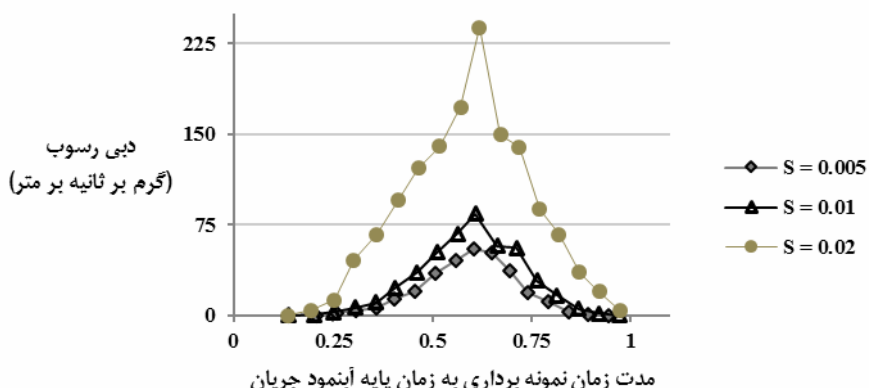
شیب‌های انتخابی نشان می‌دهد. همانطور که در شکل نشان داده شده است، در یک زمان مشخص با افزایش شیب کanal دبی رسوB منتقل شده به پایین دست افزایش می‌یابد. همچنین با افزایش زمان، اختلاف بین نقاط نمودار در سه شیب مورد آزمایش، تا رسیدن به نقطه اوج نمودارها افزایش یافته و بعد از آن، این فاصله شروع به کم شدن می‌کند. به عبارت دیگر در شاخه صعودی سدیگراف رسوB، با افزایش زمان فاصله بین نقاط در شیب‌های مختلف و در یک زمان مشخص افزایش پیدا کرده و تا رسیدن به نقطه اوج ادامه دارد و بعد از آن، در شاخه نزولی سدیگراف رسوB، این فاصله با گذشت زمان شروع به کم شدن می‌کند.

استفاده در آزمایش به حالت بارمعلق در نیامده که مشاهدات چشمی را نیز تایید می‌کند و همواره به صورت بار بستر حرکت می‌کنند.

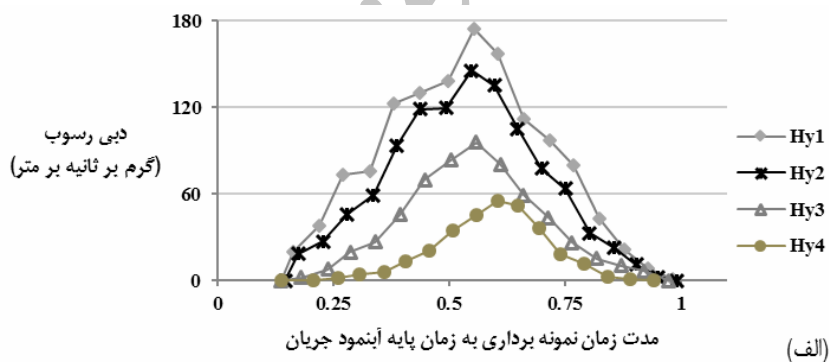
نتایج و بحث

تأثیر شیب بستر بر انتقال رسوB

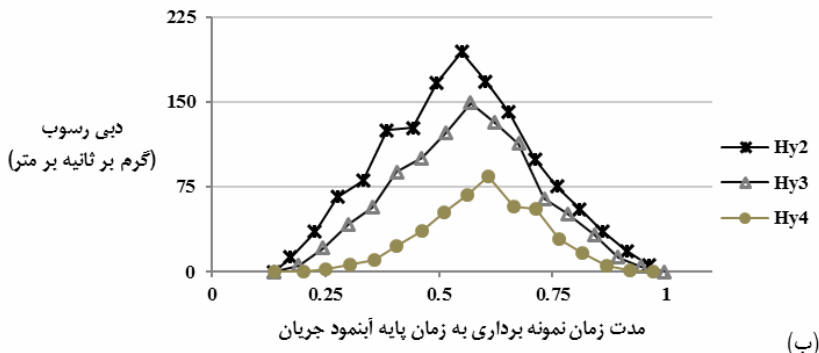
شیب بستر یکی از عوامل بسیار مهم بر شروع حرکت ذرات می‌باشد. افزایش شیب می‌تواند بدلیل افزایش قدرت آبراهه، ذرات را زودتر به حرکت درآورده و فرسایش ایجاد کند. در این تحقیق، اثر تغییر شیب بستر به شرایط حرکت ذرات مورد مطالعه قرار گرفت. شکل ۲ روند تغییرات دبی رسوB در واحد عرض تحت تأثیر شیب بستر به زمان در



شکل ۲- تغییرات دبی رسوB در واحد عرض تحت تأثیر شیب بستر برای آبنمود ورودی Hy4



(الف)



(ب)

شکل ۳- تغییرات دبی رسوB تحت تأثیر آبنمودهای با دبی اوج متفاوت

(الف) شیب برابر با 0.005 (ب) شیب برابر با 0.01

دارای زمان پایه یکسان و دبی اوج مختلف، با افزایش دبی اوج آب نمود جریان، افزایش می‌یابد.

آزمایش‌های کوهنل (۱۰) که به بررسی آب نمودهای مثلثی مقارن و تاثیر آن‌ها بر فرسایش بستر رسوی پرداخته بود، نشان داد که مقدار کل رسوی منتقل شده به پایین دست تحت تاثیر جریان غیرماندگار در شاخه صعودی سدیگراف رسوی بیشتر از مقدار آن در شاخه نزولی می‌باشد. در این تحقیق نیز نتایج مشابهی بدست آمد و مشخص گردید که در شاخه صعودی سدیگراف رسوی نسبت به شاخه نزولی آن، مقدار بیشتری از بار بستر به پایین دست منتقل شده که این عامل نشان دهنده تاثیر موج اولیه جریان ورودی بر روی انتقال بار بستر به پایین دست می‌باشد. همچنین در شکل ۴ دبی رسوی منتقل شده به پایین دست را به صورت تجمعی برای آب نمودهای مورد آزمایش نشان می‌دهد. همانطور که مشاهده می‌شود آب نمودهای دارای دبی اوج بیشتر، رسوی بیشتری را به پایین دست منتقل می‌کند.

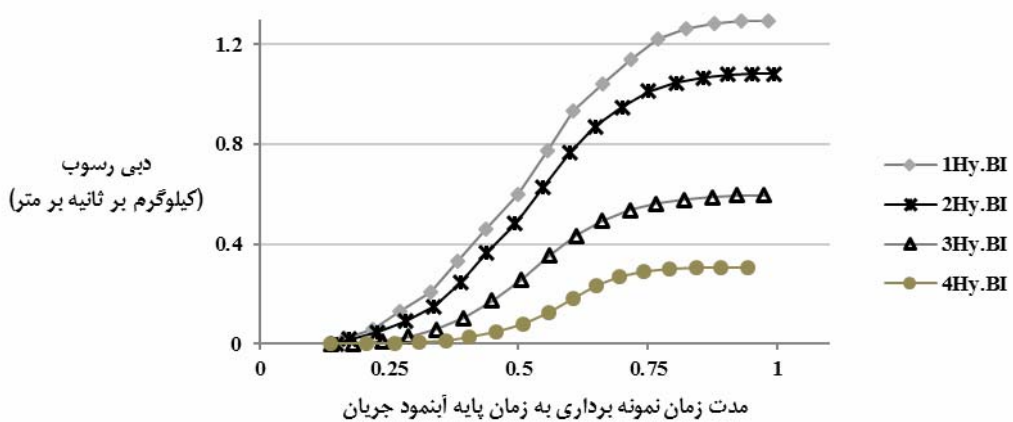
نقاطه عطف در نمودار فوق، نقطه‌ای می‌باشد که نمودارها به مقدار حداقل خود رسیده‌اند. تغییرات دبی رسوی منتقل شده به پایین دست در مقابل تغییرات دبی جریان در واحد عرض کanal، برای آب نمود ورودی $Hy1$ و برای شب 0.005 از کanal آزمایشگاهی در شکل ۵ نشان داده شده است.

با توجه به شکل فوق، مشاهده می‌شود که تغییرات دبی رسوی روندی مشابه با تغییرات دبی جریان ورودی دارد. بطوريکه با افزایش دبی جریان، دبی رسوی منتقل شده به پایین دست نیز افزایش و با کاهش دبی، مقدار آن کاهش می‌یابد.

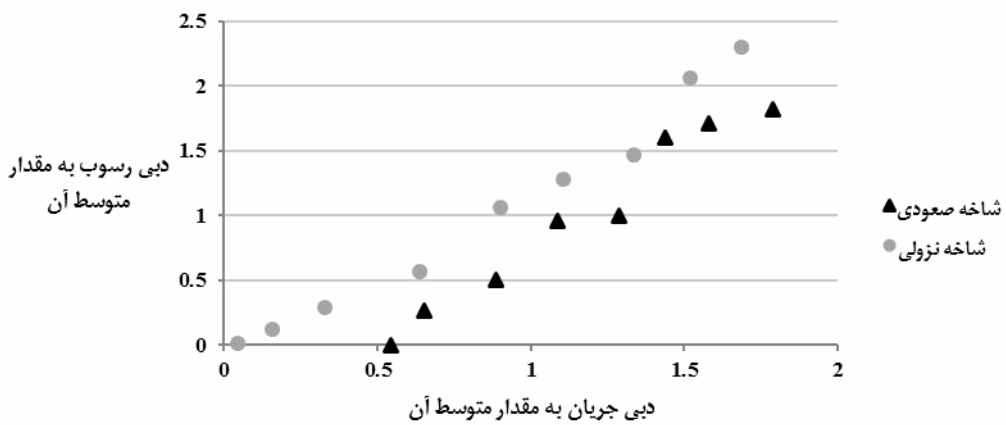
همچنین نتایج نشان دادند که مقدار کل رسوی فرسایش یافته در بالادست تحت تاثیر آب نمود جریان ورودی یکسان، با افزایش شبیب بستر افزایش می‌یابد. به طوری که با افزایش 100 درصدی شبیب کف $(از /0.005 به ۰/۰۱)$ ، مقدار رسوی منتقل شده به پایین دست تحت تاثیر یک آب نمود مشخص، حدودا $1/5$ برابر افزایش پیدا کرد. همچنین با افزایش 300 درصدی شبیب بستر (از 0.005 به 0.02)، مقدار کل رسوی منتقل شده به پایین دست، حدودا 5 برابر افزایش یافت. با توجه به نتایج بدست آمده مشاهده می‌شود که شبیب بستر تاثیر بسیار زیادی در فرسایش بالادست دارد.

تاثیر دبی اوج آب نمود ورودی در انتقال بار بستر براساس میزان شدت بارندگی و همچنین مشخصه‌های فیزیکی حوضه، دبی اوج در آب نمودهای ورودی می‌تواند تحت تاثیر واقع شده و در نتیجه بر میزان انتقال بار بستر به پایین دست موثر باشد. آب نمودهای مثلثی مقارن با دبی اوج متفاوت بر روی بستر رسوی جریان پیدا کردن و تاثیر هر یک از آن‌ها بر انتقال بار بستر به پایین دست مورد بررسی قرار گرفته شد. نتایج بدست آمده نشان داد که دبی اوج آب نمود نقش بسزایی در میزان فرسایش بالادست دارد. شکل ۳ تغییرات دبی رسوی منتقل شده به پایین دست را نسبت به زمان و تحت تاثیر آب نمودهای مثلثی مقارن ورودی نشان می‌دهد.

با توجه به شکل ۳ مشاهده می‌شود که با افزایش دبی اوج آب نمود جریان ورودی، مقدار اوج سدیگراف رسوی نیز افزایش می‌یابد. به طوری که افزایش دبی اوج آب نمود توانایی انتقال بار بستر به پایین دست را افزایش می‌دهد. همچنین نتایج نشان داد که مقدار کل رسوی منتقل شده به پایین دست تحت تاثیر آب نمودهای



شکل ۴- تغییرات تجمعی دبی رسوی در شب 0.005

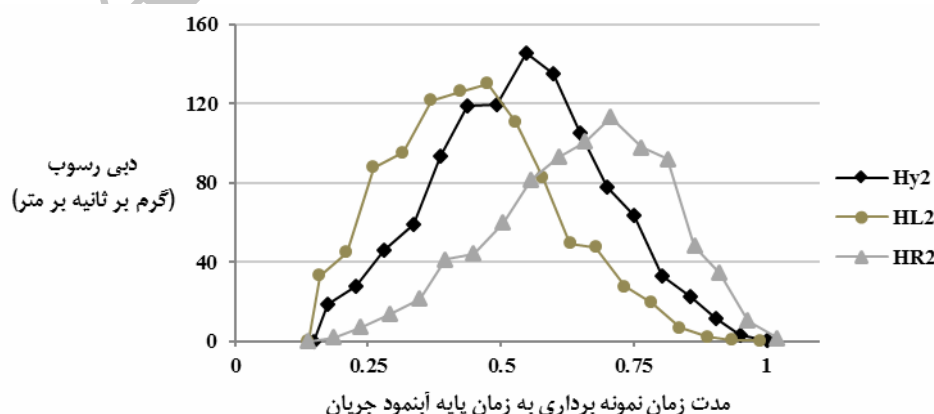


شکل ۵- تغییرات دبی رسوب منتقل شده به پایین دست در مقابل تغییرات دبی جريان ورودی آب نمود Hy1

آب نمود جريان و اوج سدیگراف معادل با ۵ تا ۱۱ درصد زمان پایه آب نمود اندازه‌گیری گردید.

تاثیر آب نمودهای مثلثی نامتقارن در انتقال بار بستره میزان رطوبت بستر، پوشش گیاهی حوضه، نفوذپذیری بستر، نوع و جنس خاک در حوضه و بسیاری از عواملی دیگر باعث تغییر در شکل آب نمود ورودی جريان شده به طوری که مدت زمان شاخه سعودی و یا نزولی آب نمود ورودی جريان را تغییر داده و باعث می‌شود که آب نمود از حالت متقاضن خارج شده و صورت آب نمود نامتقارن تبدیل شود. تاثیر آب نمودهای مثلثی نامتقارن بر فرسایش بستر رسوبی در مقایسه با آب نمودهای مثلثی متقارن که دارای زمان پایه یکسان می‌باشند مورد بررسی و آزمایش قرار گرفت (شکل ۶). نتایج نشان داد که مقدار کل رسوب منتقل شده به پایین دست تحت تاثیر آب نمود مثلثی متقارن در مقایسه با آب نمودهای مثلثی نامتقارن که دارای دبی اوج و زمان پایه مشابه می‌باشند، بیشتر بوده است. همچنین مقدار کل رسوب انتقال یافته به برای آب نمود HL2 همواره بیشتر از مقدار آن در آب نمود HR2 می‌باشد.

در شکل ۵ شاخه سعودی آب نمود با علامت مثلث و شاخه نزولی آن با دایره نشان داده شده است. همانگونه که مشاهده می‌شود، بین دبی اوج آب نمود ورودی و مقدار خداکثر دبی رسوب منتقل شده به پایین دست اختلاف زمانی وجود دارد که تاخیر زمانی نامیده می‌شود. این تاخیر زمانی ناشی از نیروی اینرسی ذرات بستر می‌باشد. چراکه هنگامی که موج اولیه جريان بر روی ذرات بستر تاثیر می‌گذارد، به دلیل نیروی اینرسی ذرات، مدت زمانی طول می‌کشد تا ذرات بستر به حرکت درآیند در نتیجه هنگامی که ذرات شروع به حرکت می‌کنند، موج جريان قبل از عبور کرده و لذا تاخیر زمانی بین آب نمود و سدیگراف رسوب ایجاد می‌شود. محققین زیبادی در آزمایش‌های مربوط به انتقال بار بستره تحت تاثیر جريان غیرماندگار، این تاخیر زمانی را مشاهده کرده و مورد بررسی قرار داده‌اند. از آن جمله می‌توان به آزمایش‌های لی و همکاران (۱۱) که اختلاف زمانی معادل ۶ تا ۱۵ درصد زمان پایه آب نمود جريان و همچنین آزمایش‌های بمبار و همکاران (۶) که تاخیر زمانی معادل با ۴ تا ۱۴ درصد زمان پایه آب نمود جريان را در آزمایش‌های خود مشاهده کردن، اشاره داشت. در این آزمایش تاخیر زمانی بین دبی اوج



شکل ۶- تغییرات دبی بار بستره تحت آب نمودهای متقارن و نامتقارن در شیب ۰/۰۰۵

جدول ۳- مقدار رسوب منتقل شده به پایین دست تحت تاثیر عوامل مورد بررسی (گرم)

آب نمودهای ورودی جریان							شبیب کف کانال
Hy1	Hy2	HL2	HR2	Hy3	Hy4		
۱۹۰۹	۱۵۱۲	۱۳۶۹	۱۲۰۵	۸۵۵	۳۹۴	در طول آب نمود	
۱۰۲۵	۷۸۴	***	***	۴۴۵	۲۰۸	شاخه صعودی	.۰۰۵
۸۸۴	۷۲۸	***	***	۴۱۰	۱۸۶	شاخه نزولی	
***	۲۰۱۲	۱۸۸۹	۱۹۱۴	۱۴۴۹	۶۱۲	در طول آب نمود	
***	۱۰۲۷	***	***	۷۴۳	۳۲۹	شاخه صعودی	.۰۱
***	۹۸۵	***	***	۷۰۶	۲۸۳	شاخه نزولی	
***	***	***	***	***	۱۹۳۴	در طول آب نمود	
***	***	***	***	***	۱۰۹۶	شاخه صعودی	.۰۲
***	***	***	***	***	۸۳۸	شاخه نزولی	

***- آزمایش‌ها برای این حالات انجام نشده است.

آب نمود جریان ورودی و مقدار اوج سدیگراف رسوب، یک تا خیر زمانی وجود دارد که مقدار آن برابر با ۱۱ درصد زمان پایه آب نمود اندازه‌گیری گردید. که این مقدار مطابقت خوبی با آزمایش‌های سایر محققین دارد. مقدار کل رسوب منتقل شده به پایین دست و همچنین مقدار اوج سدیگراف رسوب، تحت تاثیر آب نمود جریان مثلثی متقارن در مقایسه با آب نمود جریان مثلثی نامتقارن که دارای دبی اوج جریان و زمان پایه مشابه می‌باشد، بیشتر است. همچنین مقدار اوج سدیگراف رسوب در آب نمودهای مثلثی نامتقارن که به سمت چپ چوگنی دارند، همواره بیشتر از مقدار آن در آب نمودهای مثلثی نامتقارن با چوگنی به راست می‌باشد. همچنین پیشنهاداتی از قبیل استفاده از محدوده دبی و زمان پایه وسیع‌تر برای آب نمودهای جریان، استفاده از ذرات رسوبی با دانه بندی متعدد تر، استفاده از دستگاه‌های الکترونیکی به منظور قرائت عمق جریان بجای روش فیلم‌برداری، انجام آزمایش‌های انتقال بار بسته تحت تاثیر جریان مانندگار و مقایسه آن با جریان غیرمانندگار و استفاده از نمونه‌بردار رسوب با تعداد شبکه‌های جمع کننده رسوب و بیش تر به منظور افزایش در تعداد نقاط منحنی سدیگراف رسوب و افزایش دقت آزمایش را می‌توان بیان داشت.

همانطور که در شکل مشاهده می‌شود، مقدار اوج سدیگراف رسوب برای آب نمود مثلثی متقارن در مقایسه با آب نمودهای مثلثی نامتقارن بیشتر می‌باشد. همچنین این مقدار برای آب نمود HL2 بیشتر از مقدار آن در آب نمود HR2 می‌باشد. مقادیر بار بستر منتقل شده به پایین دست در طول آب نمود (شاخه صعودی و نزولی) تحت تاثیر عواملی همچون شبیب کف کانال، دبی اوج آب نمود و همچنین آب نمودهای نامتقارن در جدول ۳ درج شده است.

نتیجه گیری

نتایجی که از این تحقیق آزمایشگاهی حاصل گردید نشان داد که شبیب کف کانال تاثیر بسیار زیادی در میزان انتقال بار بستر به پایین دست دارد به طوری که با دو برابر شدن شبیب کف کانال (از .۰۰۵٪ به .۰۱٪)، کل رسوب منتقل شده به پایین دست حدوداً ۱/۵ برابر و چهار برابر شدن شبیب کف کانال (از .۰۰۵٪ به .۰۰۲٪)، این مقدار حدود ۵ برابر افزایش می‌باشد. همچنین مقدار کل بار بستر منتقل شده به پایین دست در شاخه صعودی آب نمود رسوب در مقایسه با شاخه نزولی آن به دلیل شدت موج اولیه جریان، بیشتر می‌باشد.

نتایج نشان داد در آب نمودهای مثلثی متقارن، بین مقدار اوج

منابع

- ۱- اسماعیلی ک، شفاعی ب.م. و کاشفی پور س.م. ۱۳۸۶. بررسی آزمایشگاهی عوامل موثر بر انتقال رسوب در شرایط سیلاپ طغیانی. مجله علمی پژوهشی. علوم و مهندسی آبخیزداری ایران. سال اول- شماره ۲. تابستان ۲۰۰۷.
- ۲- شفاعی بجستان م. ۱۳۸۴. مبانی و کاربرد مدل‌های فیزیکی - هیدرولیکی. انتشارات دانشگاه شهید چمران اهواز. صفحه ۶۷
- ۳- شرکت مهندسی مشاور مهاب قدس. ۱۳۸۱. تهران. سیستم‌های خودکار هشدار سیل محلی، مرجع شماره ۲ هیدرولوژی سازمان ملی هوافضایی، فوریه ۱۹۹۷
- ۴- مهار سیلاپ و مهندسی زهکشی. تالیف پروفسور اس.ان. گشن. ترجمه دکتر مسعود قدسیان. دانشگاه تربیت مدرس. تاریخ انتشار ۱۳۷۷. شماره

انتشار .۴۵

- 5- Billi P. 2011. Flash flood sediment transport in a steep sand-bed ephemeral stream. International Journal of Sediment Research 26: 193-209.
- 6- Bombar G., Elci S., Tayfur G., Guney S., and Bor A. 2011. Experimental and Numerical Investigation of Bed-Load Transport under Unsteady Flows. Journal of hydraulic engineering ASCE/ OCTOBER 2011.137:1276-1282.
- 7- Carpat H., and Yong D.L. 1998. Formation of a jump by the dam-break wave over a granular bed. j. of fluid Mechanic 372: 165-187.
- 8- Graf W.H., Suszla L. 1985. Unsteady flow and its effect on sediment transport. Proceeding 21st IAHR Congress, August 1985, Melbourne, Australia; 540-544.
- 9- Hassan M.A.R.E., and Parker G. 2006. Experiments on the effect of hydrograph characteristics on vertical grain sorting in gravel Bed Rivers. Water Resource. Research 42: 1-15.
- 10- Kuhnle R.A. 1992. Bed-load transport during rising and falling stages on two small streams. Earth Surf. Processes Landforms, 17(2) 191-197.
- 11- Lee K.T., Lui Y.L., and Cheng K.H. 2004. Experimental investigation of bed-load transport processes under unsteady flow condition, Hydrological processes, 18, pp. 2439-2454.
- 12- Matteo T., Andrea M. and Stephen C. 2008. Scouring at bed sills as a response to flash flood. Vol.135, No.6, June 1, 2009.
- 13- Qu Z. 2002. Unsteady open channel flow over a mobile bed. PhD thesis. Ecole polytechnique federale de Lausanne.
- 14- Spinewine Z.Y. 2003. Dam break waves over movable beds. Dept. Civ. And Env. Engrg, Universite Catholique de Louvain, Belgium.
- 15- Wang Z. and Plate E.J. 1994. An experimental study of bed deformation in unsteady and non-uniform flows. International Journal of Sediment Research 9: 206-215.



Comparison of the Effects of Flow Pattern and Bed Slope on Sediment Transport in Laboratory Conditions

A. Alebouyeh^{1*} - K. Esmaili² - S.R. Khodashenas³

Received: 05-05-2013

Accepted: 29-04-2014

Abstract

Flash flood is due to rapid precipitation in arid and semi-arid areas. This flood is example of unsteady flow which has hydrograph with little time duration and high discharge. Investigation behavior of these floods is very important on sediment transport and characteristics streams. In this research evaluated the effect of flash floods on bed load transported to downstream. The input hydrographs are symmetric and Asymmetric triangles. Time duration of hydrograph was selected 90 second and constant and the maximum discharge were changed 6.58 to 16.18 l/s. The median size of particles is 2.5 mm; three bed slopes 0.005, 0.01 and 0.02 were select in these experiments. The results show that a temporal lag was found between the flow hydrographs peak and the sediment hydrograph peak. The temporal lag was found to be about equal to 5 - 11% of flow hydrograph duration. Also bed slope and maximum discharge of hydrograph are effect on upstream erosion and transportation of sediment to downstream. Since increases the bed slope from 0.005 to 0.01 increased 50% bed load transported and with two times the slope it show increase 400% in bed load transported. Bed load transported to downstream with symmetric triangle hydrographs more than symmetric triangle hydrograph.

Keywords: Flash Flood, Unsteady flow, Arid Area, Triangle Hydrograph, Bed load

1,2,3- MSc Student, Assistant Professor and Associate Professor, Department of Water Engineering, Faculty of Agriculture, Ferdowsi University of Mashhad, Respectively
(* -Corresponding Author Email: a.alebouyeh15@gmail.com)